

## Нестационарная теория магнетронов на пространственной гармонике с холодным катодом

Д. М. Ваврив, С. В. Сосницкий

Радиоастрономический институт НАН Украины,  
Украина, 61002, г. Харьков, ул. Краснознаменная, 4  
E-mail: vavriv@rian.kharkov.ua  
sergey@ira.kharkov.ua

Статья поступила в редакцию 23 апреля 2001 г.

Предложена нестационарная теория магнетронов на пространственной гармонике с холодным катодом. Ключевым моментом при выводе математической модели магнетрона является применение эквивалентной схемы колебательной системы магнетрона в виде замкнутой цепочки связанных нелинейных осцилляторов. Представление колебательной системы магнетрона в виде эквивалентной схемы описывает все моды типа  $TE_{n1}$  с учетом образования дублетов, а также позволяет изучать нестационарные процессы.

Запропоновано нестационарну теорію магнетронів на просторовій гармоніці з холодним катодом. Ключовим моментом при виводі математичної моделі магнетрона було використання еквівалентної схеми коливальної системи магнетрона у вигляді замкненого ланцюжка зв'язаних нелінійних осцилляторів. Уявлення коливальної системи магнетрона у вигляді еквівалентної схеми описує усі моди типу  $TE_{n1}$  з урахуванням утворення дублетів, а також дозволяє вивчати нестационарні процеси.

### 1. Введение

Теория классических магнетронов строится обычно на ряде предположений об электронно-волновом взаимодействии и свойствах электромагнитного поля, возбуждаемого в резонаторной системе магнетрона. Основными являются следующие предположения: 1) распределение плотности электронов по угловой координате периодично; 2) взаимодействие электронов осуществляется только с одной из пространственных гармоник периодической структуры анодного блока; 3) пространственное распределение возбуждаемого электромагнитного поля можно аппроксимировать распределением поля одного из собственных колебаний холодного резонатора. Такая теория позволяет, по крайней мере, качественно описать физику классических маг-

нетронов [1] и проанализировать их стационарные и динамические характеристики [2]. Имеется целый ряд работ, где были сделаны попытки отказаться от некоторых из этих предположений (см., напр. [3, 4]), однако в результате, по существу, было получено только уточнение классической теории. Теория магнетронов на пространственной гармонике с холодным катодом [5] гораздо сложнее, поскольку ни одно из вышеуказанных предположений не может быть принято даже на стадии качественного описания работы таких магнетронов. Оказалось [6], что в этом типе магнетронов пространственный заряд не является строго периодичным и в нем могут существовать образования, движущиеся несинхронно с рабочей гармоникой. Существенное влияние на движение электронов оказывают как первая

обратная пространственная гармоника (синхронная), так и нулевая.

Невозможность полного описания динамики магнетронов на пространственной гармонике с холодным катодом в рамках одномодового приближения следует уже из того, что все виды собственных колебаний симметричных анодных систем магнетронов (кроме  $\pi$ -вида) являются двукратно вырожденными. Взаимодействие потока электронов с двукратно вырожденным видом колебаний может быть описано как возбуждение одной моды, представляющей собой бегущую волну. Однако, в реальных магнетронах из-за наличия в анодной системе неоднородностей, основной из которых является вывод энергии, вырождение снимается, что приводит к образованию пары мод с близкими значениями собственной частоты и существенно различающимися величинами добротности (дублетов). Следовательно, для корректного рассмотрения не  $\pi$ -видных магнетронов требуется учет взаимодействия электронов как минимум с двумя модами. В действительности, как будет показано ниже, для описания процесса возбуждения и установления колебаний в магнетроне необходимо учитывать взаимодействия практически всех мод. Поэтому применение модового разложения для представления поля в пространстве взаимодействия ведет к чрезмерному усложнению теории и соответствующих численных экспериментов. В данной работе предлагается альтернативный подход: описание колебательной системы как цепочки замкнутых в кольцо нелинейных осцилляторов с сосредоточенными параметрами. Электромагнитное поле, действующее на электроны, рассчитывается как сумма полей, наведенных сегментами анодного блока. При этом не делается никаких предположений о пространственной структуре поля, которое формируется в результате самосогласованного взаимодействия электронов с полями отдельных сегментов.

Такой подход использован для построения нестационарной теории магнетрона и изучения процесса установления колебаний на примере 8-мм магнетрона.

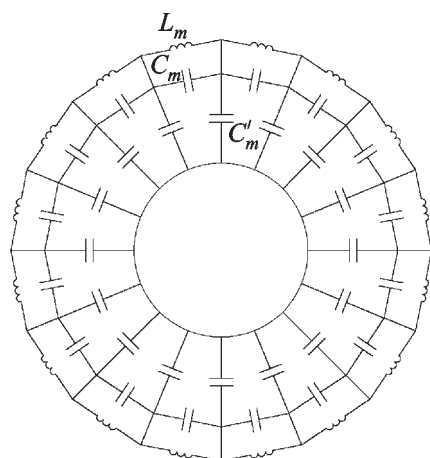
Статья организована следующим образом. Во втором разделе описаны методика расчета поля в колебательной системе магнетрона

и некоторые общие свойства собственных колебаний. В третьем разделе приводится самосогласованная система уравнений, которая позволяет моделировать как стационарные, так и нестационарные процессы. В четвертом обсуждаются закономерности возбуждения и установления колебаний в магнетронах на примере анализа магнетрона 8-мм диапазона длин волн.

## 2. Моделирование поля анодной системы магнетрона

В настоящей работе колебательная система магнетрона моделируется цепочкой связанных осцилляторов. Как известно, в простейшем случае [7] такая система может быть представлена в виде эквивалентной схемы с сосредоточенными параметрами (рис. 1). Схема состоит из колебательных контуров, моделирующих отдельные резонаторы анодного блока, и емкостей между ламелями анодного блока и катодом. Если предположить, что потери отсутствуют и система симметричная, то собственная частота  $n$ -го вида колебаний этой цепи определяется формулой [7]:

(1)



**Рис. 1.** Эквивалентная цепь колебательной системы магнетрона

которая позволяет приблизенно рассчитать собственные частоты низших видов колебаний системы магнетрона. Здесь  $M$  – число резонаторов,  $C'$  – емкость между сегментом анодного блока и катодом,

$L$  и  $C$  – индуктивность и емкость анодных резонаторов. Как следует из (1), все виды колебаний за исключением  $n = 0$  и  $n = M/2$  являются двукратно вырожденными.

В более общей модели колебательной системы магнетрона анодные резонаторы представлены схемой, приведенной на рис. 2, где  $G_m$  – эквивалентная проводимость анодного резонатора, а  $C_m$ ,  $C'_m$ ,  $L_m$  обозначают те же элементы, что и на рис. 1. При этом проводимость одного из резонаторов существенно больше, чем у остальных, что моделирует вывод энергии. В последнем случае цепочка замкнутых резонаторов становится неоднородной, и это приводит к снятию вырождения видов колебаний. Для нахождения собственных частот такой цепочки запишем уравнения Кирхгофа в комплексной форме:

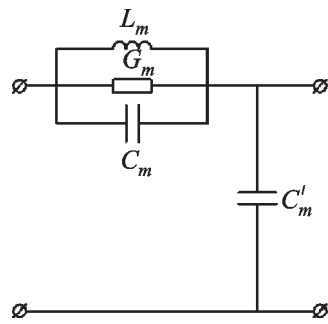


Рис. 2. Участок эквивалентной схемы, учитывающей потери

$$-\omega^2 \mathbf{C} \mathbf{U} + j\omega \mathbf{G} \mathbf{U} + \mathbf{L}^{-1} \mathbf{U} = 0. \quad (2)$$

Здесь  $\omega$  – частота;  $\mathbf{U}$  – вектор комплексных амплитуд узловых напряжений, размерность которого равна  $M$  – числу резонаторов анодного блока;  $j$  – мнимая единица;  $\mathbf{C}$ ,  $\mathbf{G}$ ,  $\mathbf{L}^{-1}$  – матрицы с размерами  $M \times M$ , описывающие емкости, проводимости и обратные индуктивности соответственно. Легко показать, что эти матрицы задаются следующим образом:

Здесь  $G_a$  – эквивалентная проводимость анодного резонатора с выводом энергии, а  $G_b$  – эквивалентная проводимость ненагруженных резонаторов.

Решение системы уравнений (2) существует только при выполнении условия

(3)

Поскольку в системе есть потери, собственные частоты в общем случае являются комплексными. В таблице представлены рассчитанные в соответствии с (2) и (3) резонансные частоты, добротности и контурные КПД для магнетрона, работающего на длине волны 8 мм. Индексами “а” и “б” отмечены составляющие дублета соответствующего вида колебаний, возникающие за счет наличия вывода энергии. Параметры элементов эквивалентной схемы были подобраны таким образом, чтобы обеспечить близость резонансных частот и добротностей к экспериментальным значениям (в эксперименте, как правило, можно измерить частоту лишь одной из составляющих дублета). Здесь и далее в качестве конкретного примера магнетрона рассматривается реальный магнетрон 8-мм диапазона длин волн, производимый в РИ НАН Украины, который имеет следующие геометрические параметры: число резонаторов – 16, радиус анода – 2.25 мм, радиус катода – 1.3 мм, осевая длина – 6 мм, ширина анодных резонаторов – 0.486 мм, глубина анодных резонаторов – 1.385 мм.

**Таблица.** Собственные частоты, добротности и контурные КПД мод типа  $TE_{n1}$  колебательной системы магнетрона

Вид колебания	Частота, ГГц	Добротность	Контурный КПД, %
1а	22.565	815.7	0
1б	22.569	139.77	85
2а	32.531	565.81	0
2б	32.553	98.46	84.71
3а	36.348	506.39	0
3б	36.4	91.65	83.98
4а	38.016	484.17	0
4б	38.109	94.47	82.51
5а	38.839	473.91	0
5б	38.986	136.49	72.92
6а	39.268	468.74	0
6б	39.05	29.33	96.19
7а	39.479	466.23	0
7б	39.373	290.44	38.85
8	39.525	441.14	5.41

Следует отметить некоторые общие закономерности поведения дублетов. Во-первых, с увеличением номера вида колебаний степень частотного расщепления дублетов увеличивается и при больших  $n$  происходит перекрытие полос пропускания этих видов. Во-вторых, каждая из дублетных пар состоит из высокодобротной и низкодобротной мод. Как видно из таблицы, составляющие дублетов с большой добротностью имеют нулевой контурный КПД. Таким образом, различие меж-

ду составляющими дублета определяется разной степенью их связи с выводом энергии. Для 3-го и 4-го видов (наиболее часто используемых в качестве рабочих в рассматриваемом магнетроне) различие резонансных частот составляющих дублета не превышает полосы пропускания нагруженной моды, и, следовательно, обе составляющие дублета могут возбуждаться одновременно, что в общем случае тоже следует учитывать при моделировании магнетронов.

Рассмотренную выше эквивалентную схему анодной системы магнетрона можно обобщить с целью ее использования для численного моделирования работы магнетрона методом частиц. Поскольку коэффициент замедления анодных систем большинства магнетронов велик, ВЧ составляющая напряженности электрического поля в пространстве взаимодействия может быть представлена в виде градиента скалярного потенциала. Предположим, что угловая составляющая ВЧ поля в раскрыве любого резонатора не зависит от угловой координаты (это предположение вполне допустимо, поскольку у магнетронов миллиметрового диапазона длины волн углы раскрыва резонаторов малы). Тогда потенциал ВЧ поля можно представить в виде линейной комбинации потенциалов, наведенных отдельными анодными сегментами:

(4)

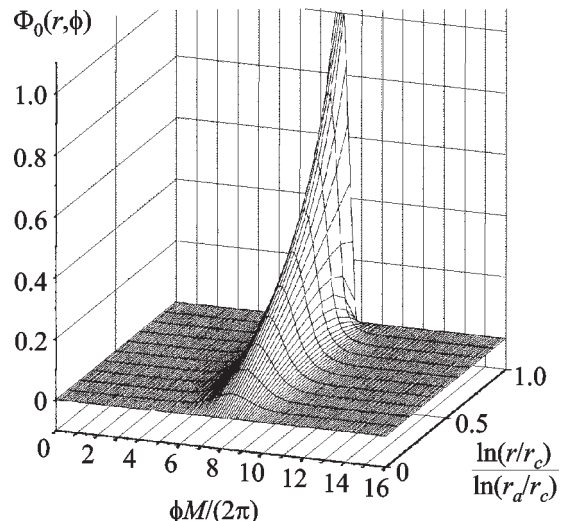
Здесь  $r$ ,  $\phi$  – полярные координаты;  $M$  – число резонаторов;  $m$  – номера сегментов анодного блока;  $\Phi_0(r, \phi)$  – безразмерная функция, описывающая распределение потенциала, наведенного одним сегментом анодного блока, симметричным относительно  $\phi = 0$ , и удовлетворяющая уравнению Лапласа со следующими граничными условиями:

- на поверхности катода  $\Phi_0 = 0$ ,
- на рассматриваемом сегменте анода  $\Phi_0 = 1$ ,
- в соседних с ним раскрывах резонаторов  $\Phi_0$  линейно изменяется от 1 до 0,
- в раскрывах остальных резонаторов и на остальных сегментах  $\Phi_0 = 0$ .

В Приложении показано, что выражение для  $\Phi_0$  можно записать следующим образом:

(5)

Здесь  $r_c$ ,  $r_a$  – радиусы катода и анода соответственно,  $\theta$  – половина угла раскрыва резонатора. Вид этой функции в координатах приведен на рис. 3.



**Рис. 3.** Потенциал  $\Phi_0$ , созданный одним анодным сегментом

Коэффициенты разложения  $u_m$  в (4) являются потенциалами сегментов и, соответственно, напряжениями в узлах эквивалентной схемы. Таким образом, ВЧ электрическое поле в пространстве взаимодействия имеет следующий вид:

(6)

где  $\Phi_0$  – функция, описывающая распределение напряженности поля, создаваемого одним анодным сегментом.

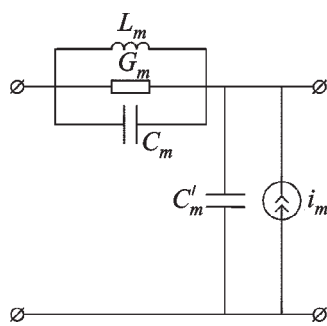
Для моделирования возбуждения ВЧ поля описанную выше эквивалентную схему следует дополнить источниками тока  $i_m$ , как показано на рис. 4. Ток  $i_m$  наведен потоком электронов на соответствующем сегменте анодного блока. Поскольку функция  $\Phi_0$  безразмерна и равна единице на поверхности сегмента анодного блока, наведенный ток вычисляется по формуле:

(7)

где  $\vec{j}$  – плотность тока в пространстве взаимодействия,  $V$  – объем пространства взаимодействия. При использовании метода крупных частиц [8] пространственный заряд представлен совокупностью так называемых макрочастиц. Каждая макрочастица представляет собой совокупность электронов, движущихся по близким друг к другу траекториям. В терминах макрочастиц выражение для наведенного тока приобретает вид:

(8)

где  $q_0$  – заряд макрочастицы;  $r_k$ ,  $\Phi_k$ ,  $\vec{v}_k$  – координаты и скорость  $k$ -й макрочастицы;  $K_p$  – число макрочастиц в пространстве взаимодействия.



**Рис. 4.** Участок эквивалентной схемы, учитывающей влияние электронов на ВЧ поле

Вследствие того, что отношение радиусов анода и катода относительно невелико, поле, создаваемое одним сегментом, сосредоточено в небольшом диапазоне по угловой координате (см. рис. 3). Поэтому, как правило, достаточно учитывать взаимодействие электронов только с полями, создаваемыми ближайшими тремя сегментами анода. За счет этого удается существенно сократить время счета при моделировании магнетрона.

Эволюция узловых напряжений эквивалентной схемы с учетом наведенных токов описывается уравнением:

(9)

Здесь  $\mathbf{u}$  – вектор узловых напряжений а  $\mathbf{i}$  – вектор наведенных токов  $i_m$ , которые в общем случае являются нелинейными функциями узловых напряжений. Таким образом, колебательная система магнетрона моделируется системой  $M$  связанных нелинейных осцилляторов. Связь токов с узловыми напряжениями устанавливается путем решения уравнений движения, уравнения Пуассона, а также уравнений, описывающих генерацию вторичных электронов. Эти уравнения рассматриваются в следующем разделе.

### 3. Математическая модель магнетрона

Уравнения двухмерного движения электронов в цилиндрической системе координат  $r, \phi$  записываются следующим образом:

(10)

где  $e_0$ ,  $m_0$  – элементарный заряд и масса электрона;  $U_a$ ,  $B$  – анодное напряжение и индукция магнитного поля;  $r_a$ ,  $r_c$  – радиусы анода и катода;  $\Phi$  – потенциал поля пространственного заряда. Уравнения движения для каждой макрочастицы решаются до выполнения условий  $r = r_a$  или  $r = r_c$  (достижение частицей анода или катода соответственно). При попадании частиц на катод моделируется вторичная электронная эмиссия путем создания новых частиц с начальными скоростями, зависящими от параметров бомбардирующих электронов (см. [6, 9]). Термоэлектронная эмиссия моделируется путем создания новых частиц с нулевыми скоростями при  $r = r_c$ .

Потенциал поля пространственного заряда находится из уравнения Пуассона:

(11)

Здесь  $\epsilon_0$  – диэлектрическая проницаемость вакуума;  $\rho$  – плотность пространственного заряда:

(12)

где  $L$  – осевая длина пространства взаимодействия,  $\delta$  – функция Дирака.

Уравнения (10)-(12) совместно с (6), (8)-(9) представляют собой самосогласованную математическую модель магнетрона. При этом выходная мощность прибора рассчитывается как мощность, выделяющаяся на проводимости нагруженного резонатора. Видовой состав возбуждаемых колебаний определяется вычислением спектра одного из узловых напряжений. В стационарном режиме по соотношению между выходной мощностью и мощностью, рассеиваемой на проводимостях всех резонаторов, можно найти отношение между амплитудами составляющих генерируемого дублета.

Тестирование описанной модели было проведено путем расчета стационарных и переходных характеристик 8-мм магнетрона с приведенными выше параметрами. Ранее было

проведено численное моделирование этого же магнетрона в рамках одномодового приближения [6, 10]. На рис. 5 представлены результаты натурного и численных экспериментов для двух моделей. При моделировании в рамках одномодового приближения для того, чтобы результаты моделирования совпали с данными измерений, потребовалось задать добротность  $Q = 130$  и контурный КПД равный 50 %. В численном эксперименте, представляющем анодную систему в виде эквивалентной схемы, добротности были заданы в соответствии с данными таблицы. Эти данные с большей точностью совпадают с измеренными значениями.

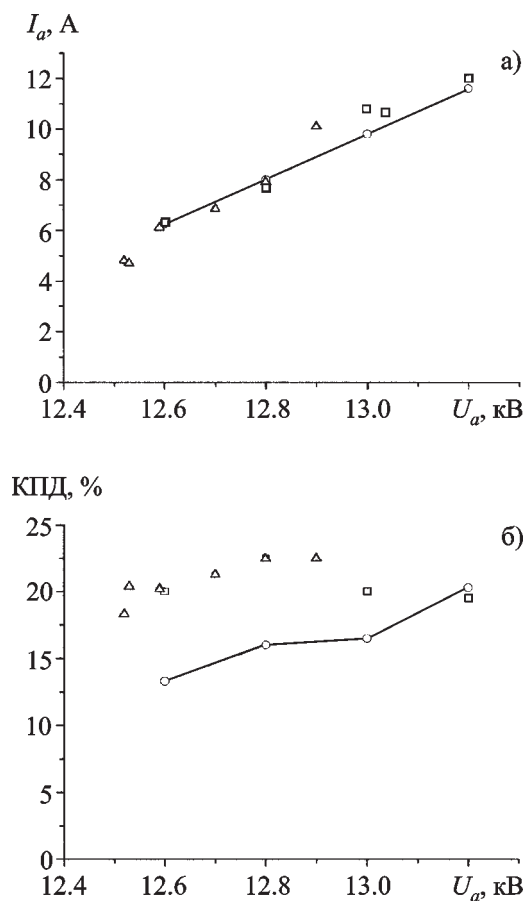


Рис. 5. Сопоставление результатов математического моделирования с результатами натурного эксперимента:

—○— – экспериментальные данные;  
□ – одномодовое приближение;  
△ – приближение эквивалентной схемы

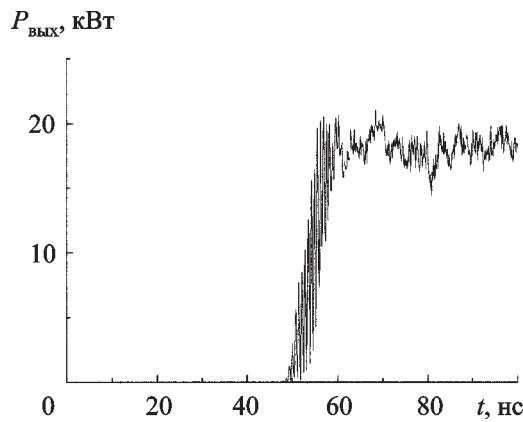
Как видно из рис. 5, результаты численного моделирования мало отличаются друг от друга и близки к результатам натурного эксперимента. Таким образом, эквивалентная схема достаточно корректно описывает свойства анодной системы, причем подбор параметров элементов эквивалентной цепи производится до серии численных экспериментов, в то время как при использовании одномодового приближения требовалось несколько пробных запусков для подбора добротности.

При моделировании в рамках описываемой модели отношение выходной мощности к полной мощности, отдаваемой электронами ВЧ полю, равно примерно 50 %, что меньше, чем контурный КПД нагруженной составляющей дублета. Это говорит о том, что происходит генерация обеих составляющих дублета.

Одним из преимуществ использования предлагаемой модели является возможность моделирования процессов возбуждения и установления колебаний в магнетроне. Закономерности этих процессов в магнетронах на пространственной гармонике с холодным катодом обсуждаются в следующем разделе.

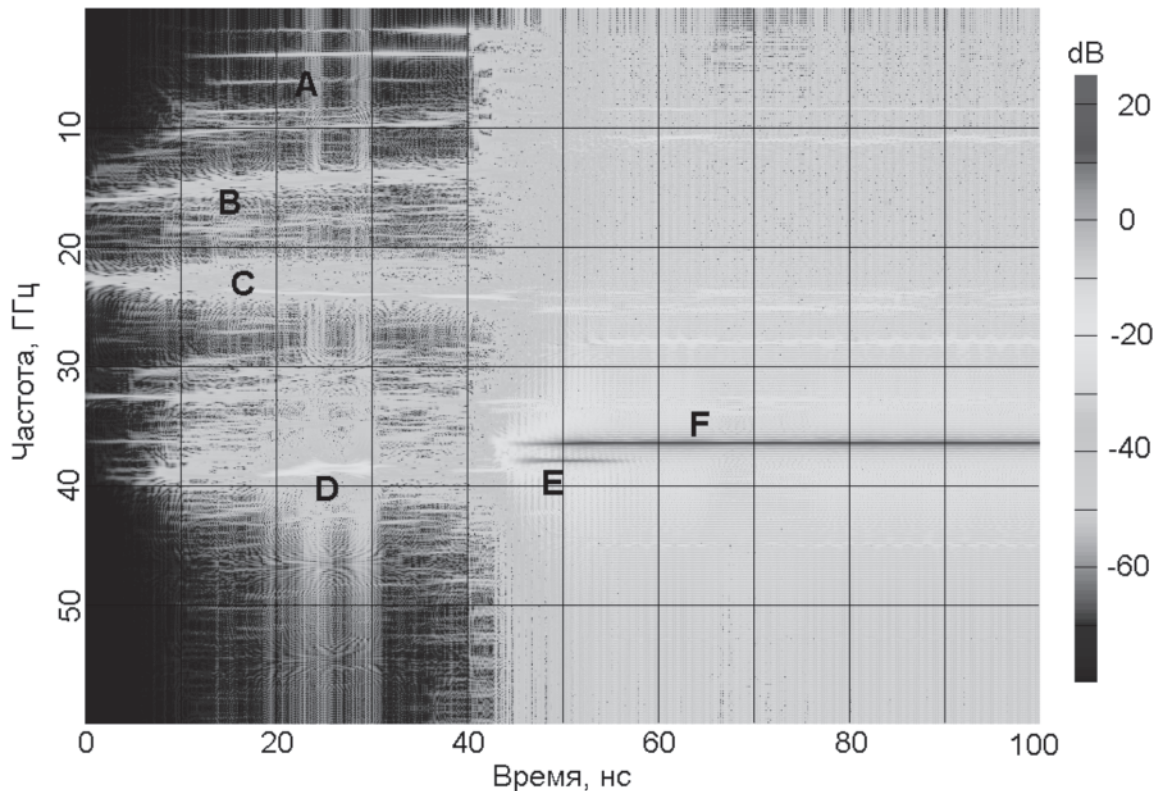
#### 4. Нестационарные процессы в магнетроне

Как и стационарный режим генерации, нестационарные процессы изучались на примере 8-мм магнетрона. Предполагалось, что анодное напряжение изменялось по линейному закону от нуля до рабочего значения в течение 15 нс. На рис. 6 приведен пример временной эволюции выходной мощности. Рис. 7 представляет собой динамический спектр колебаний в магнетроне в координатах частота-время, где цветом отображается интенсивность возбуждаемых колебаний в соответствии с приведенной цветовой шкалой. На рис. 8, а-в показаны спектры возбуждаемых колебаний в различные характерные моменты времени эволюции колебаний в магнетроне. Анализ приведенных зависимостей позволяет сделать вывод, что начальный этап возбуждения колебаний является принципиально многомодовым. Видно,



**Рис. 6.** Временная эволюция выходной мощности магнетрона

что до выхода прибора в стационарный режим (линия F на рис. 7) в системе в разные моменты времени доминируют колебания с различными частотами. Некоторые из них являются собственными колебаниями анодной системы, другие – колебаниями пространственного заряда. До того как анодное напряжение достигает стационарного значения, доминируют колебания пространственного заряда (линии В, С и группа линий А), которые являются результатом образования сгустков пространственного заряда при формировании электронного облака за счет термоэлектронной и слабой вторичной электронной эмиссии. На этом этапе анодная система не оказывает существенного влияния на динамику электронного облака и протекающие процессы аналогичны тем, которые происходят в магнетронном диоде. После выхода анодного напряжения на стационарное значение происходит кратковременное возбуждение высокочастотных видов колебаний (линия D, а также рис. 8, а), которое не приводит к увеличению вторичной эмиссии до уровня, необходимого для достижения пространственным зарядом рабочей величины. Примерно после 33-й наносекунды начинается одновременная генерация 3-го (линия F) и 4-го (линия Е) видов колебаний (рис. 8, б), сопровождающаяся увеличением коэффициента вторичной эмиссии и ростом величины



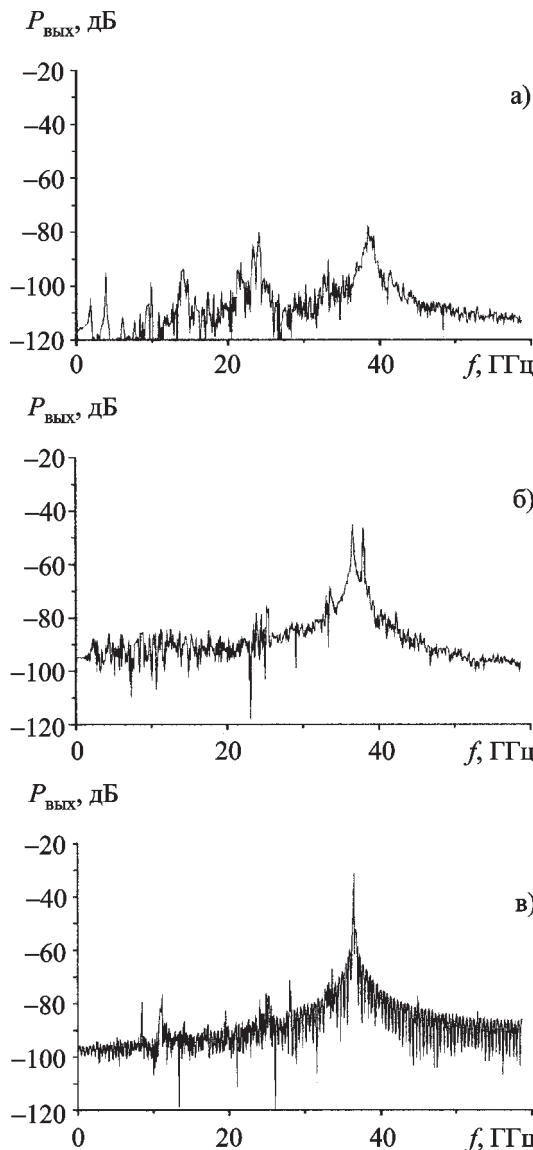
**Рис. 7.** Динамический спектр колебаний в магнетроне

пространственного заряда. В конечном итоге, в результате конкуренции этих двух видов происходит подавление 4-го и установление стационарной генерации на 3-м виде колебаний (рис. 8, в). При этом уровни мощности на других видах колебаний оказываются как минимум на 40 дБ ниже. Характерные времена возбуждения и существования отдельных видов колебаний могут меняться в довольно широких пределах при вариациях параметров магнетрона.

Таким образом, процесс запуска рассматриваемого типа магнетронов сопровождается возбуждением и конкуренцией нескольких мод анодной системы и корректное моделирование этого процесса в рамках одномодового приближения невозможно.

## 5. Выводы

В настоящей работе предложена нестационарная теория магнетронов, которая может применяться, например, для моделирования магнетронов на пространственной гармонике с холодным катодом. Ключевым моментом при создании математической модели магнетрона являлось применение эквивалентной схемы колебательной системы магнетрона в виде замкнутой цепочки связанных нелинейных осцилляторов. Представление колебательной системы магнетрона в виде эквивалентной схемы имеет следующие преимущества при численном моделировании работы прибора: учитывается наличие дублетных мод; одновременно рассматриваются все моды колебательной системы типа  $TE_{n1}$ ; не делается



**Рис. 8.** Спектры колебаний в магнетроне, соответствующие периодам: (а) – 30÷40 нс, (б) – 45÷55 нс, (в) – 80÷100 нс

предположение о медленно меняющейся амплитуде поля – вместо амплитуд и фаз рассматриваются мгновенные значения; учитывается локальное взаимодействие электронных сгустков с отдельными резонаторами. Следует напомнить, что в одномодовом приближении предполагается, что амплитуда ВЧ поля во всех резонаторах меняется синхронно. Достоинства предложенной теории позволяют моделировать более точно не только стационарные режимы колебаний, но и процессы

возбуждения и установления колебаний, которые в общем случае не удается описать в рамках одномодового приближения.

Работа была частично поддержана ЕС в рамках контракта IC15CT980509.

## Приложение

### Функция распределения потенциала

Для нахождения функции  $\Phi_0$ , описывающей пространственное распределение потенциала, создаваемого одним анодным сегментом, необходимо решить уравнение Лапласа,

с граничными условиями, описанными во втором разделе. Введем переменную  $y = \ln(r/r_c)$ . В терминах этой переменной уравнение Лапласа приобретает вид:

Пусть центр анодного сегмента совпадает с  $\varphi=0$ . Тогда граничные условия определяются следующим образом:

- на катоде ( $y=0$ )  $\Phi_0=0$ ;
- на аноде ( $y=y_a \equiv \ln(r_a/r_c)$ )

$$\Phi_0 = 1, \quad \text{при } \theta - \pi/M \leq \varphi < \pi/M - \theta;$$

$$\text{при } \pi/M - \theta \leq \varphi < \pi/M + \theta;$$

$$\text{при } -\pi/M - \theta \leq \varphi < \theta - \pi/M;$$

$$\text{при остальных } \varphi.$$

Поскольку функция  $\Phi_0$  периодична и заведомо четная (так как граничные условия симметричны относительно  $\varphi = 0$ ), выражение для нее можно искать в виде разложения по косинусам, а именно:

Граничные условия на катоде при этом автоматически удовлетворены. Коэффициенты разложения  $\Phi_k$  определяются исходя из граничных условий при  $y = y_a$ , что приводит к выражению

3. В. Б. Байбурин, А. А. Терентьев, С. Б. Пластун. Радиотехника и электроника. 1996, **41**, №2, с. 236-240.
4. A. Palevsky, G. Bekefi, Drobot. J. of Appl. Phys. 1981, **52**, No. 8.
5. И. М. Вигдорчик, В. Д. Науменко, В. П. Тимофеев. Доклады Украинской Академии Наук. 1975, А, №7, с. 633.
6. K. Schünemann, S. V. Sosnytskiy, and D. M. Vavriv. Radio Phys. and Radio Astron. 2000, **5**, No. 2, pp. 171-180.
7. G. B. Collins. Microwave Magnetrons. McGraw-Hill Book Company, inc., 1948.
8. R. W. Hockney, J. W. Eastwood. Computer Simulation Using Particles. McGraw-Hill Book Company, inc., 1981.
9. J. Rodney, M. Vaughan. IEEE Trans. on Electron Devices. 1989, **36**, No. 9, pp. 1963-1967.
10. K. Schünemann, S. V. Sosnytskiy, and D. M. Vavriv. IEEE Trans. on Electron Devices. 2001, **48**, No. 5, pp. 993-998.

### **Non-Stationary Theory of Space-Harmonic Magnetrons with Cold Cathode**

**D. M. Vavriv, S. V. Sosnytskiy**

The non-stationary theory for modeling the space-harmonic magnetrons with cold secondary-emission cathode is proposed. The principal idea of the magnetron mathematical model derivation is usage of the equivalent circuit of the magnetron cavity being a closed chain of coupled nonlinear resonators. The representation of the magnetron cavity by the equivalent circuit describes all the modes of the type  $\text{TE}_{mn}$  with account of the doublet appearance, and allows, too, to examine the non-stationary processes.

### **Литература**

1. А. А. Слуцкий, С. Я. Брауде, И. Д. Трутень. Радиотехника. 1946, **1**, №9, с. 12-17.
2. S. P. Yu, G. P. Kooyers and O. Buneman. J. of Appl. Phys. 1965, **36**, No. 8, pp. 2550-2559.